

Модификации метода анализа сингулярного спектра для анализа временных рядов: Circulant SSA и Generalized SSA

Погребников Н. В., гр. 21.Б04-мм

Санкт-Петербургский государственный университет
Прикладная математика и информатика
Вычислительная стохастика и статистические модели

Научный руководитель: д. ф.-м. н., доц. Голяндина Н. Э.

Санкт-Петербург, 2025

Пусть $X = (x_1, \dots, x_N)$ – временной ряд длины N , $x_i \in \mathbb{R}$ – наблюдение в момент времени i .

$X = X_{\text{Trend}} + X_{\text{Periodics}} + X_{\text{Noise}}$, где:

- X_{Trend} – тренд, медленно меняющаяся компонента;
- $X_{\text{Periodics}}$ – сумма периодических компонент;
- X_{Noise} – шум, случайная составляющая.

Методы: **SSA** – метод, позволяющий раскладывать временной ряда в сумму интерпретируемых компонент (Golyandina, Nekrutkin и Zhigljavsky 2001); **GSSA** – модификация **SSA** на основе добавления весов (Gu и др. 2024); **CiSSA** – модификация **CiSSA** на основе циркулярной матрицы (Bogalo, Poncela и Senra 2020).

Задача: Описание модификаций в контексте теории **SSA**, сравнение алгоритмов, реализация их на языке R.

$\mathbf{X} = (x_1, \dots, x_N)$ — временной ряд. $1 < L < N$ — длина окна.

Алгоритм SSA:

- 1 Построение траекторной матрицы:

$$\mathbf{X} = \mathcal{H}(\mathbf{X}) = [\mathbf{X}_1 : \dots : \mathbf{X}_K], \mathbf{X}_i = (x_i, \dots, x_{i+L-1})^T, \\ 1 \leq i \leq K, \quad K = N - L + 1.$$

- 2 Сингулярное разложение (SVD) траекторной матрицы:

$$\mathbf{X} = \sum_{i=1}^d \sqrt{\lambda_i} U_i V_i^T = \sum_{i=1}^d \mathbf{X}_i, \quad d = \text{rank}(\mathbf{X}).$$

\mathbf{X}_i — элементарные матрицы ранга 1.

$(\sqrt{\lambda_i}, U_i, V_i^T)$ — i -ая собственная тройка.

- 3 Группировка индексов $1, \dots, d$ на m непересекающихся подмножеств I_1, \dots, I_m , $I_k = \{i_1^{(k)}, \dots, i_{p_k}^{(k)}\}$.

$$\mathbf{X}_{I_k} = \mathbf{X}_{i_1^{(k)}} + \dots + \mathbf{X}_{i_{p_k}^{(k)}}. \quad \mathbf{X} = \mathbf{X}_{I_1} + \dots + \mathbf{X}_{I_m}.$$

- 4 Восстановление: $\tilde{\mathbf{X}}_{I_k} = \mathcal{H}^{-1}(\mathbf{X}_{I_k})$, $\tilde{\mathbf{X}} = \tilde{\mathbf{X}}_{I_1} + \dots + \tilde{\mathbf{X}}_{I_m}$.

$X = (x_1, \dots, x_N)$ — временной ряд, параметры L и $\alpha \geq 0$.

$$w^{(a)} = (w_1, w_2, \dots, w_L) = \left(\left| \sin \left(\frac{\pi n}{L+1} \right) \right| \right)^\alpha, \quad n = 1, 2, \dots, L.$$

Шаг 1 алгоритма GSSA:

$$X^{(\alpha)} = \mathcal{H}^{(\alpha)}(X) = [X_1^\alpha : \dots : X_K^\alpha],$$

$$X_i^{(\alpha)} = (w_1 x_{i-1}, \dots, w_L x_{i+L-2})^T, \quad 1 \leq i \leq K.$$

Шаги 2-4: аналогичны **SSA**.

Замечание 1

При $\alpha = 0$, **GSSA** — в точности базовый алгоритм **SSA**.

Определение 1

Пусть $X = (\dots, x_{-1}, x_0, x_1, \dots)$ — бесконечный временной ряд. **Линейный конечный фильтр** — оператор Φ , преобразующий X в $X' = (\dots, y_{-1}, y_0, y_1, \dots)$ по правилу:

$$y_j = \sum_{i=-r_1}^{r_2} h_i x_{j-i}, \quad j \in \mathbb{Z},$$

где $r_1, r_2 \in \mathbb{N}$ — ширина фильтра, $h_i \in \mathbb{R}$ — коэффициенты.

Пример. При применении фильтра Φ на $X_{\cos} = \cos 2\pi\omega n$, получается ряд $y_j = A_{\Phi}(\omega) \cos(2\pi\omega j + \phi_{\Phi}(\omega))$.

$\phi_{\Phi}(\omega)$ — фазово-частотная характеристика (ФЧХ).

$A_{\Phi}(\omega)$ — амплитудно-частотная характеристика (АЧХ).

Сравнение SSA и GSSA. Линейные фильтры 2

$X = (x_1, \dots, x_N)$, $(\sqrt{\lambda}, U, V)$ – собственная тройка **SSA**.

$U = (u_1, \dots, u_L)$. $\tilde{X} = \mathcal{H}^{-1}(\sqrt{\lambda}UV^T)$.

Запись SSA через линейный фильтр:

$$\tilde{x}_s = \sum_{j=-(L-1)}^{L-1} \left(\sum_{k=1}^{L-|j|} u_k u_{k+|j|} / L \right) x_{s-j}, \quad L \leq s \leq K.$$

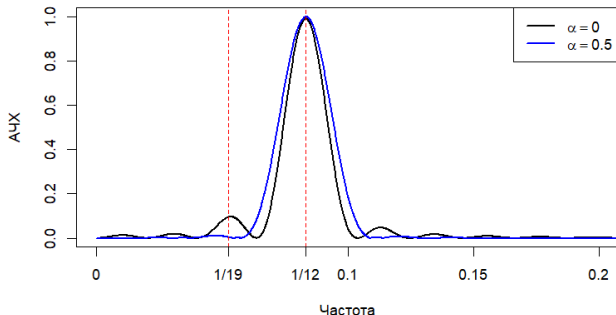
Аналогичное представление для GSSA:

$$\tilde{x}_s = \sum_{j=-(L-1)}^{L-1} \left(\sum_{k=1}^{L-|j|} u_k^{(\alpha)} u_{k+|j|}^{(\alpha)} w_k / \sum_{i=1}^L w_i \right) x_{s-j}, \quad L \leq s \leq K.$$

Сравнение SSA и GSSA. Пример

$$X = X_{\sin} + X_{\cos} = \sin\left(\frac{2\pi}{12}n\right) + \frac{1}{2} \cos\left(\frac{2\pi}{19}n\right). \quad N = 96 \cdot 2 - 1, \quad L = 48.$$

АЧХ для суммы фильтров собственных троек синуса



При $\alpha = 0.5$ АЧХ без волн, но с широкой областью около частоты синуса, что ухудшает отделение от шума, но улучшает разделение компонентов.

Сравнение SSA и GSSA. Пример, продолжение

Таблица 1: MSE разложений $X = X_{\sin} + X_{\cos}$

Метод/Ошибка	X_{\sin}	X_{\cos}	X
SSA	5.15e-03	5.15e-03	6.01e-30
GSSA, $\alpha = 0.5$	3.68e-04	3.68e-04	9.53e-30

Без шума **GSSA** выдает результаты на порядок лучше **SSA**.

Таблица 2: MSE разложений $X = X_{\sin} + X_{\cos} + \varepsilon_n$, $\varepsilon_n \sim N(0, 0.1^2)$

Метод	X_{\sin}	X_{\cos}	X
SSA	5.68e-03	5.44e-03	7.48e-04
GSSA, $\alpha = 0.5$	1.21e-03	1.25e-03	1.04e-03

С шумом выигрыш на порядок у **GSSA** пропал, но теперь **SSA** выделил сигнал на порядок лучше.

Можно объединить преимущества обоих алгоритмов, выделив сигнал с помощью **SSA**, а затем разделив компоненты друг от друга благодаря **GSSA**:

Метод	X_{\sin}	X_{\cos}	X
SSA + GSSA, $\alpha = 0.5$	1.06e-03	1.12e-03	7.15e-04

Получились наилучшие результаты.

Метод CiSSA. Алгоритм

$\mathbf{X} = (x_1, \dots, x_N)$ — временной ряд. $1 < L < N$ — длина окна.

Алгоритм SSA:

- ❶ Построение траекторной матрицы: как в SSA.
- ❷ $l = 1 : L$,
 $U_l = L^{-1/2}(u_{l,1}, \dots, u_{l,L})$, $u_{l,j} = \exp(-i2\pi(j-1)\frac{l-1}{L})$.
Элементарное разложение: $w_k = \frac{k-1}{L}$, $k = 1 : \lfloor \frac{L+1}{2} \rfloor$

$$\mathbf{X}_{w_k} = U_k U_k^H \mathbf{X} + U_{L+2-k} U_{L+2-k}^H \mathbf{X};$$
$$\mathbf{X}_{w_{\frac{L}{2}+1}} = U_{\frac{L}{2}+1} U_{\frac{L}{2}+1}^H \mathbf{X}, \text{ если } L \bmod 2 = 0,$$

Разложение: $\mathbf{X} = \sum_{k=1}^d \mathbf{X}_{B_k}$, $d = \lfloor \frac{L+1}{2} \rfloor$ (или $\frac{L}{2} + 1$).

- ❸ Группировка по частотам $w_k \in [0, 0.5]$ на непересекающиеся диапазоны $I_i = [w_{i0}, w_{i1}]$.
- ❹ Диагональное усреднение: как в SSA.

Замечания:

- В отличие от **SSA**, базис подпространства которого зависит от X, L, N (адаптивный), базис в **CiSSA** зависит только от L, N (фиксированный).
- Поскольку группировка производится по частотам, а частоты зависят от L , то алгоритм применим только в случае, когда заранее известны интересующие частоты.

Определение 2

Разложение

$$x_n = c_0 + \sum_{k=1}^{\lfloor \frac{N+1}{2} \rfloor} (c_k \cos(2\pi nk/N) + s_k \sin(2\pi nk/N)), \quad (1)$$

где $1 \leq n \leq N$ и $s_{N/2} = 0$ для четного N , называется разложением Фурье ряда X .

Замечание 2

В разложении Фурье производится проекция всего ряда на пространства, порожденные синусами и косинусами. В **CiSSA** производится разложение Фурье для K векторов матрицы X . Затем соответствующие элементы усредняются.

Модификации метода SSA

└ Метод CiSSA. Свойства: связь с разложением Фурье

TODO Переписать замечание (частично сделано)

Метод CiSSA. Свойства: связь с разложением Фурье

Определение 2

Разложение

$$x_n = a_0 + \sum_{k=1}^{\lfloor N/2 \rfloor} (a_k \cos(2\pi nk/N) + b_k \sin(2\pi nk/N)), \quad |k|$$

для $1 \leq n \leq N$ и $a_{N/2} = 0$ для четного N , и имеет разложение Фурье ряда X .

Замечание 2

В разложении Фурье произойдет пропуск его ряда на произвольном, произвольном синусе и косинусе. В CiSSA производится разложение Фурье для X в векторах на трисы X . Эти три вектора являются элементами упорядоченных.

TODO Написать, что будем сравнивать алгоритмы **SSA** и **GSSA** по делимости компонент между собой, когда заранее знаем, на какие частоты будем разделять. Для этого нужны определения делимости.

Определение 3

Есть метод разделения ряда на компоненты с параметрами Θ , ряд $X = X^{(1)} + X^{(2)}$. \exists набор параметров $\hat{\Theta}$, L , N , что при разделении ряда на компоненты этим методом, $\hat{X}^{(1)}$ является оценкой $X^{(1)}$, при этом, $\text{MSE}(X^{(1)}, \hat{X}^{(1)}) = 0$. Тогда ряды $X^{(1)}$ и $X^{(2)}$ точно разделимы данным методом.

Определение 4

Есть метод разделения ряда на компоненты с параметрами Θ , ряд $X = X^{(1)} + X^{(2)}$. \exists набор параметров $\hat{\Theta}$ и $L = L(N)$, $N \rightarrow \infty$, что при разделении ряда на компоненты этим методом, $\hat{X}^{(1)}$ является оценкой $X^{(1)}$, при этом, $\text{MSE}(X^{(1)}, \hat{X}^{(1)}) \rightarrow 0$. Тогда ряды $X^{(1)}$ и $X^{(2)}$ называются асимптотически $L(N)$ -разделимыми данным методом.

Фиксируем временной ряд $X = X_1 + X_2 =$
 $= A_1 \cos(2\pi w_1 n + \varphi_1) + A_2 \cos(2\pi w_2 n + \varphi_2).$

Условия точной разделимости X для разложения Фурье:
 $Nw_1, Nw_2 \in \mathbb{N}, w_1 \neq w_2.$

Условия точной разделимости X для **CiSSA**:
 $Lw_1, Lw_2 \in \mathbb{N}, w_1 \neq w_2.$

Условия точной разделимости X для **SSA**:
 $Lw_1, Lw_2, Kw_1, Kw_2 \in \mathbb{N}, w_1 \neq w_2, A_1 \neq A_2.$

Таким образом, условия на разделение косинусов, слабее у методов **CiSSA** и Фурье, чем у **SSA**.

Сравнение SSA, Фурье, CiSSA. Асимптотическая разделимость

Асимптотически разделимы в методе **SSA** полиномы, гармонические функции, не удовлетворяющие условиям точной разделимости, экспоненты (Golyandina, Nekrutkin и Zhigljavsky 2001).

Замечание 3

*Для **SSA** существуют алгоритмы улучшения разделимости, например, EOSSA и FOSSA (Golyandina, Dudnik и Shlemov 2023). По заданному набору компонент, они позволяют более точно отделять компоненты.*

В алгоритме разложения **CiSSA** (Фурье) увеличение длины окна $L(N)$ изменяет сетку частот. Это означает, что даже если не удастся подобрать такое $L(N)$, при котором косинус будет точно отделим, его постепенное увеличение позволит приблизить частоты сетки к частоте компоненты. В итоге,

Модификации метода SSA

└ Сравнение SSA, Фурье, CiSSA.
Асимптотическая разделимость

Сравнение SSA, Фурье, CiSSA. Асимптотическая разделимость

Асимптотически разделимы в методе SSA полиномы, гармонические функции, не удовлетворяющие условиям точной разделимости, и экспонаты [Golynskiy, Nikul'shin & Z. Hrabovskiy 2018].

Замечание 1

Для SSA существуют алгоритмы улучшения разделимости полиномов, CiSSA и FOSSA [Golynskiy, Nikul'shin & Z. Hrabovskiy 2018]. По мере уменьшения компонент они становятся более точными при делении компонент.

В алгоритме разложения CiSSA [Фурье] уменьшение длины списка L $[N]$ не имеет сетевой частоты. Это означает, что даже если не удастся подобрать такую L $[N]$, при котором каждая будет точно отделена, то постепенно увеличивая N мы будем приближаться к сетевой частоте компонент. В итоге, можно считать, что все же не каждая компонента.

TODO Переформулировать с меньшим количеством слов, ссылки переработать

Метод CiSSA. Свойства: нестационарный ряд

В работе (Bogalo, Poncela и Senra 2020) предложена модификация, улучшающая результат выделения тренда, но ухудшающая разделение периодических компонент:

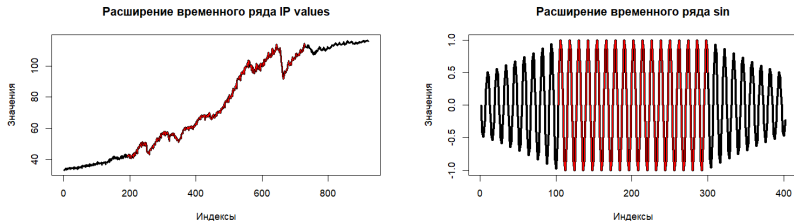


Рис. 1: Красный – настоящий ряд, черный – его расширение

Таким образом, можно использовать алгоритм на нестационарных рядах.

Модификации метода SSA

└ Метод CiSSA. Свойства: нестационарный ряд

Метод CiSSA. Свойства: нестационарный ряд

В работе [Borish, Pancha и Sivas 2021] предложено модифицирование, позволяющее выделить s рядов, но усложняя задачу их разделения. теоретически возможно:

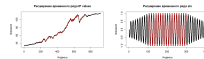


Рис. 1: Красный — исходный ряд, черный — его разложение

Таким образом, можно использовать алгоритм на нестационарных рядах.

TODO Написать алгоритм расширения ряда в конце как приложение в конце. сказать, что изначально алгоритм пригоден только для стационарных рядов.

TODO Пример, когда известны частоты, попадаем / не попадаем в решетку.

TODO Пример, когда условия нарушаются (добавление тренда).

TODO Пример, когда шум.

Сравнение SSA, Фурье, CiSSA. Выводы 1

Метод/Условие	cos, $Lw \in \mathbb{N},$ $Kw \in \mathbb{N}$	cos, $Lw \in \mathbb{N},$ $Kw \notin \mathbb{N}$	cos, $Lw \notin \mathbb{N},$ $Kw \notin \mathbb{N}$	X_{np1}	X_{np}	group
SSA	+	→	→	→	→	—
SSA EOSSA	+	→	→	→	→	+
CiSSA	+	+	→	—	—	+
CiSSA extended	+	+	→	→	—	+

Таблица 3: Преимущества и недостатки методов **SSA, CiSSA**

Метод/Условие	cos, $Nw \in \mathbb{N}$	cos, $Nw \notin \mathbb{N}$	X_{np1}	X_{np}	group
Fourier	+	→	—	—	+
Fourier extended	+	→	→	—	+

Таблица 4: Преимущества и недостатки методов Fourier

По полученным результатам, можно следующие выводы:

- ❶ Если понятно, что ряд состоит только из периодических компонент, стоит использовать **CiSSA** без процедуры расширения, поскольку она делает ошибки разделений периодики больше. И напротив, если есть непериодичность, лучше расширять ряд;
- ❷ Если данные зашумлены или имеется непериодичность, алгоритм **SSA**, чем **CiSSA** с расширением ряда или без.

Модификации метода SSA

└ Сравнение SSA, Фурье, CiSSA. Выводы 2

TODO Переписать выводы в соответствии с примерами.

По полученным результатам, можно следующие выводы:

- Если известно, что ряд содержит только непервичных элементов, следует использовать CiSSA без процедуры расширения, поскольку она делает ошибку в разделении периодичности. И наоборот, если есть непервичность, лучше расширить ряд.
- Если данные зашумлены или имеются непервичности, итерации SSA, чем CiSSA с расширенным рядом без.



Bogalo, Juan, Pilar Poncela и Eva Senra (2020). «Circulant singular spectrum analysis: A new automated procedure for signal extraction». В: *Signal Processing* 177. ISSN: 0165-1684. DOI: 10.1016/j.sigpro.2020.107750. URL: <http://www.sciencedirect.com/science/article/pii/S0165168420303264>.



Golyandina, Nina, Pavel Dudnik и Alex Shlemov (2023). «Intelligent Identification of Trend Components in Singular Spectrum Analysis». В: *Algorithms* 16.7, с. 353. DOI: 10.3390/a16070353. URL: <https://doi.org/10.3390/a16070353>.



Golyandina, Nina, Vladimir Nekrutkin и Anatoly Zhigljavsky (2001). *Analysis of Time Series Structure: SSA and Related Techniques*. Chapman и Hall/CRC. URL: https://www.academia.edu/34626051/Analysis_of_Time_Series_Structure_-_SSA_and_Related_Techniques.



Gu, Jialiang и др. (2024). «Generalized singular spectrum analysis for the decomposition and analysis of non-stationary signals». В: *Journal of the Franklin Institute Accepted/In Press*. ISSN: 0016-0032. DOI: 10.1016/j.jfranklin.2024.106696. URL: <https://doi.org/10.1016/j.jfranklin.2024.106696>.